

Ataxia de Friedreich

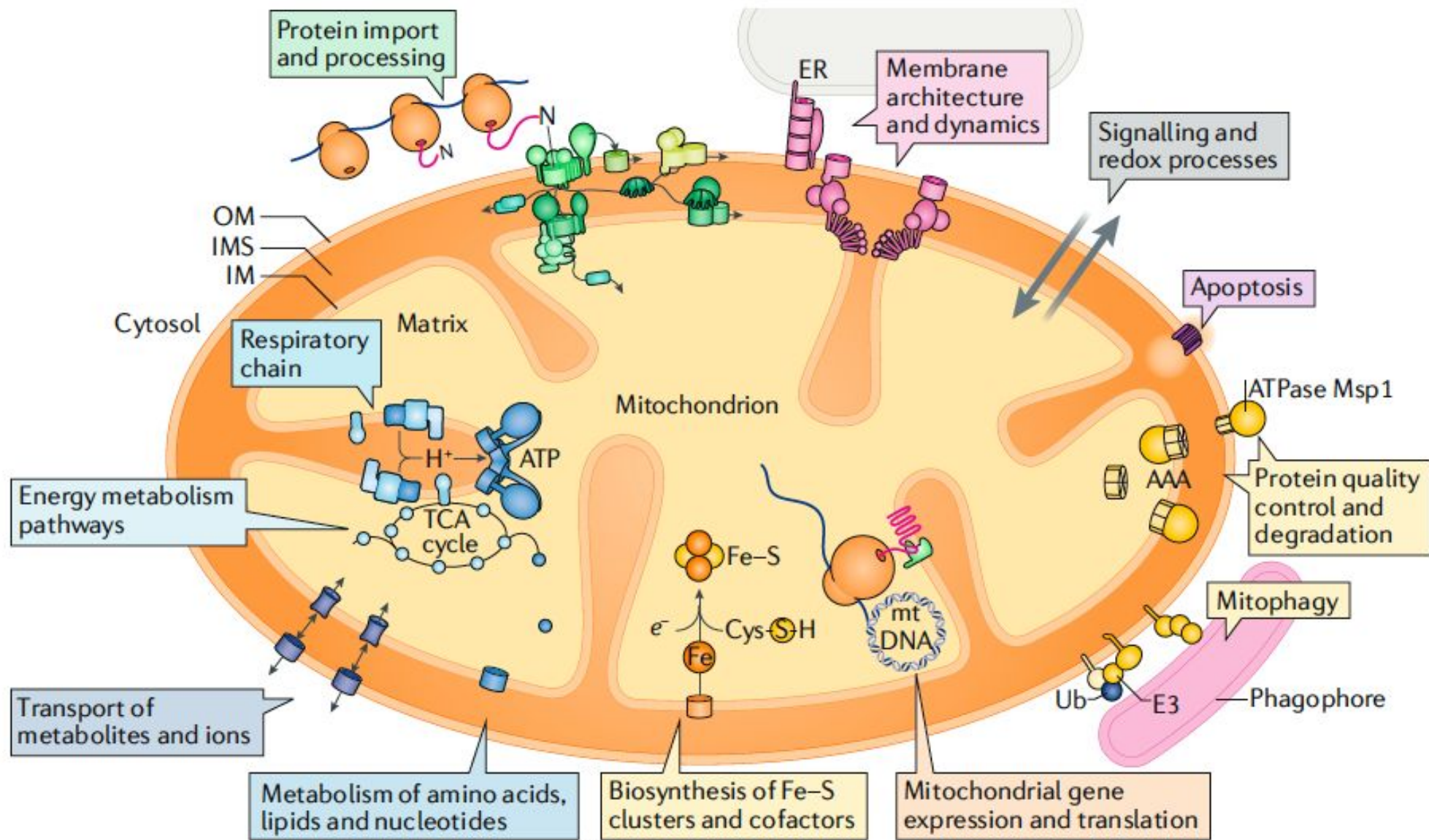
Bioquímica y estrategias terapéuticas

Dr. Javier Santos

Profesor del Departamento de Química Biológica FCEN-UBA

Investigador de CONICET

Instituto de Biociencias, Biotecnología y Biología Traslacional de la UBA



Proteínas mitocondriales

1% codificadas en el DNA mitocondrial

99% codificadas en el DNA nuclear

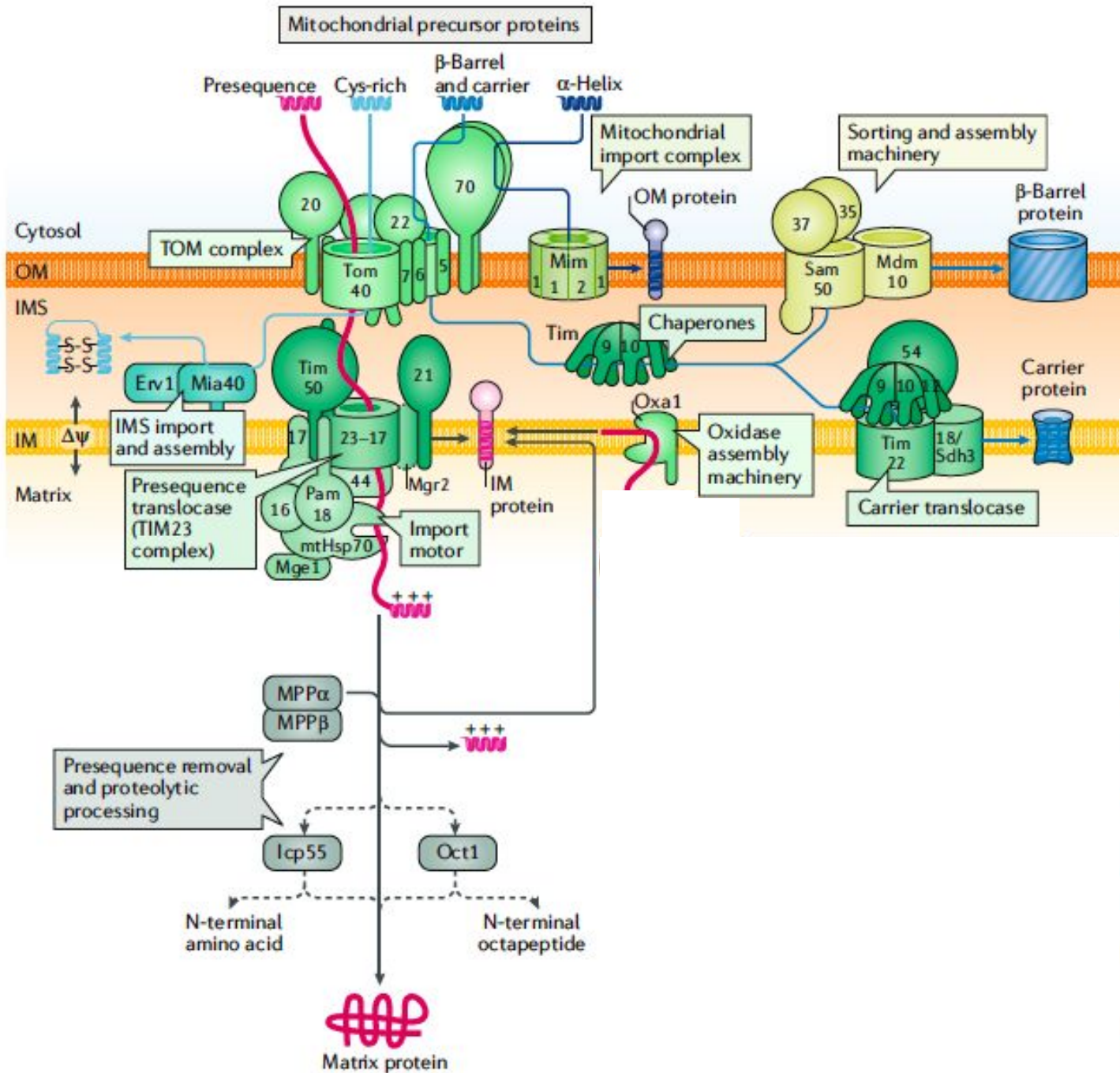
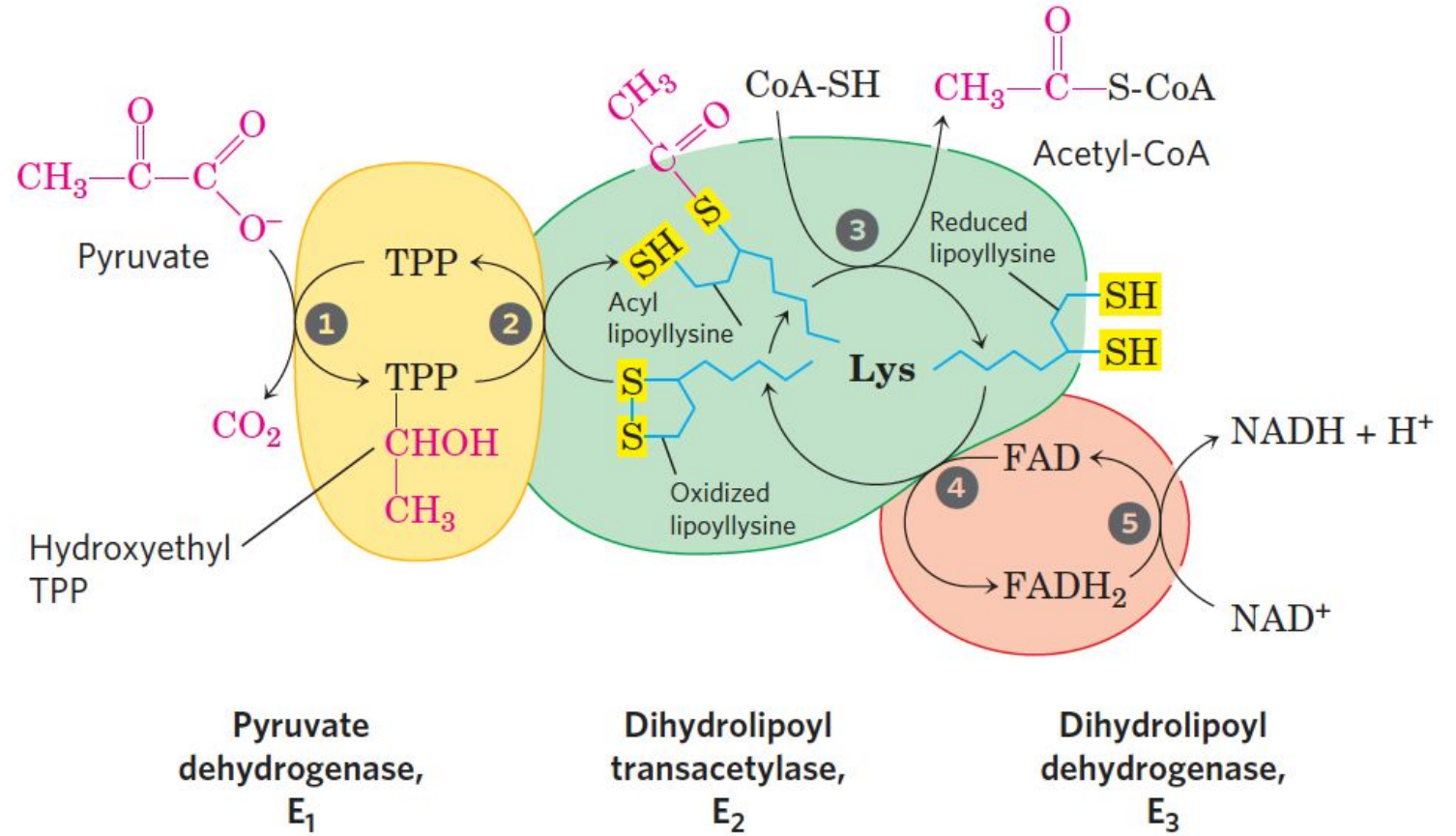
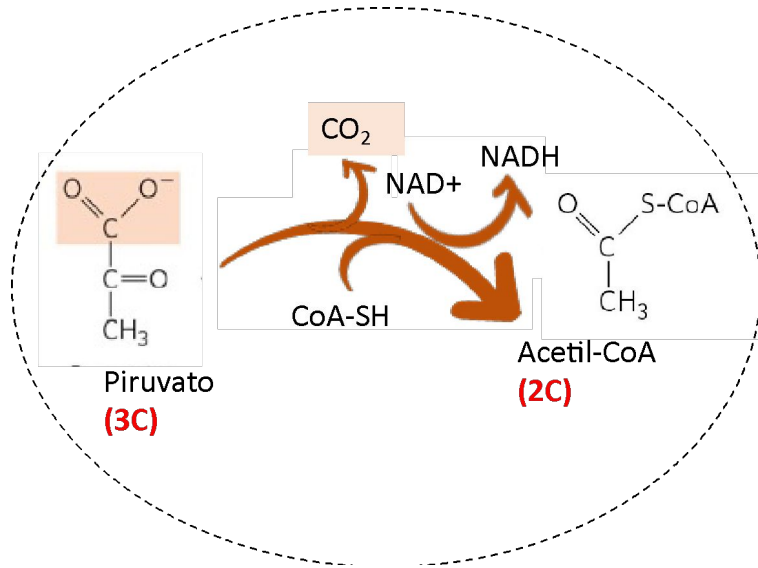


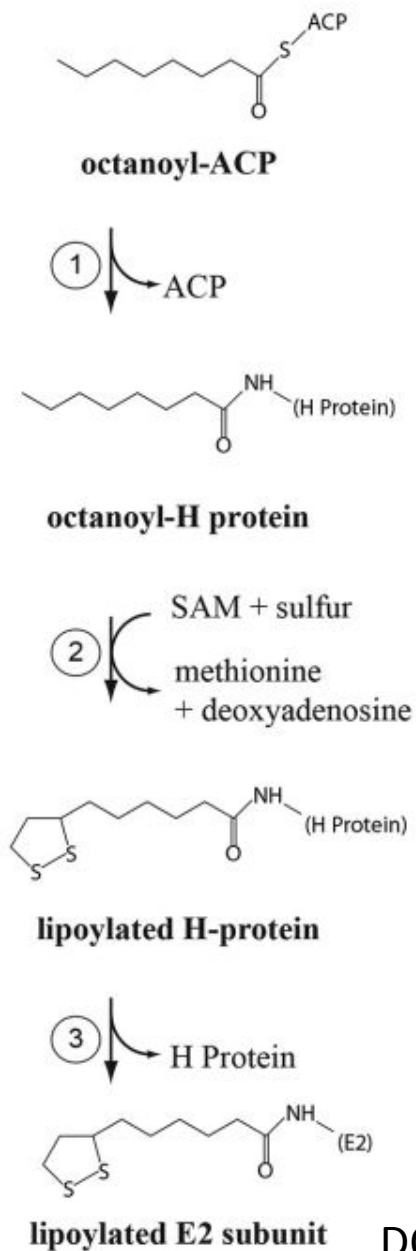
Table 1. Mitochondrial DNA-encoded genes and their functions

(1) Coupled electron transport–oxidative phosphorylation (ATP synthesis)	
Complex I (NADH:ubiquinone oxidoreductase)	<i>nad1, 2, 3, 4, 4L, 5, 6, 7, 8, 9, 10, 11</i>
Complex II (succinate:ubiquinone oxidoreductase)	<i>sdh 2, 3, 4</i>
Complex III (ubiquinol:cytochrome <i>c</i> oxidoreductase)	<i>cob</i>
Complex IV (cytochrome <i>c</i> :O ₂ oxidoreductase)	<i>cox1, 2, 3</i>
Complex V (F ₁ F ₀ ATP synthase)	<i>atp1, 3, 4,^a 6, 8,^b 9</i>
(2) Translation	
Ribosomal RNAs	<i>rnl</i> (LSU), <i>rns</i> (SSU), <i>rrr5</i> (5S)
Ribosomal proteins	
Small subunit (SSU)	<i>rps1, 2, 3, 4, 7, 8, 10, 11, 12, 13, 14, 19</i>
Large subunit (LSU)	<i>rpl1, 2, 5, 6, 10, 11, 14, 16, 18, 19, 20, 27, 31, 32, 34</i>
Transfer RNAs	<i>trnA, C, ... W, Y</i>
Elongation factor	<i>tufA</i>
tm RNA (unstalling of translation)	<i>ssrA</i>
(3) Transcription	
Core RNA polymerase	<i>rpoA, B, C</i>
Sigma factor	<i>rpoD</i>
(4) RNA processing	
RNase P RNA (5' tRNA processing)	<i>rnpB</i>
(5) Protein import	
ABC transporter	<i>ccmA</i> (<i>yejV</i>), <i>ccmB</i> (<i>yejW</i>)
Heme delivery	<i>ccmC</i> (<i>yejU</i>)
SecY-type transporter	<i>secY</i>
Sec-independent transporter	<i>tata</i> (<i>mttA</i>) ^c , <i>tatC</i> (<i>mttB</i>)
(6) Protein maturation	
Cytochrome oxidase assembly	<i>cox11</i>
Heme <i>c</i> maturation	<i>ccmF</i> (<i>yejR</i>)

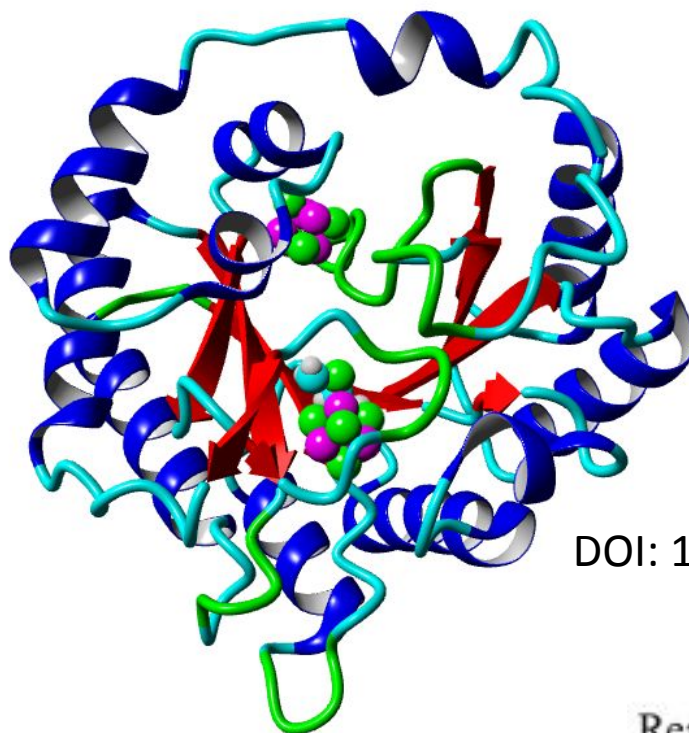
Piruvato deshidrogenasa



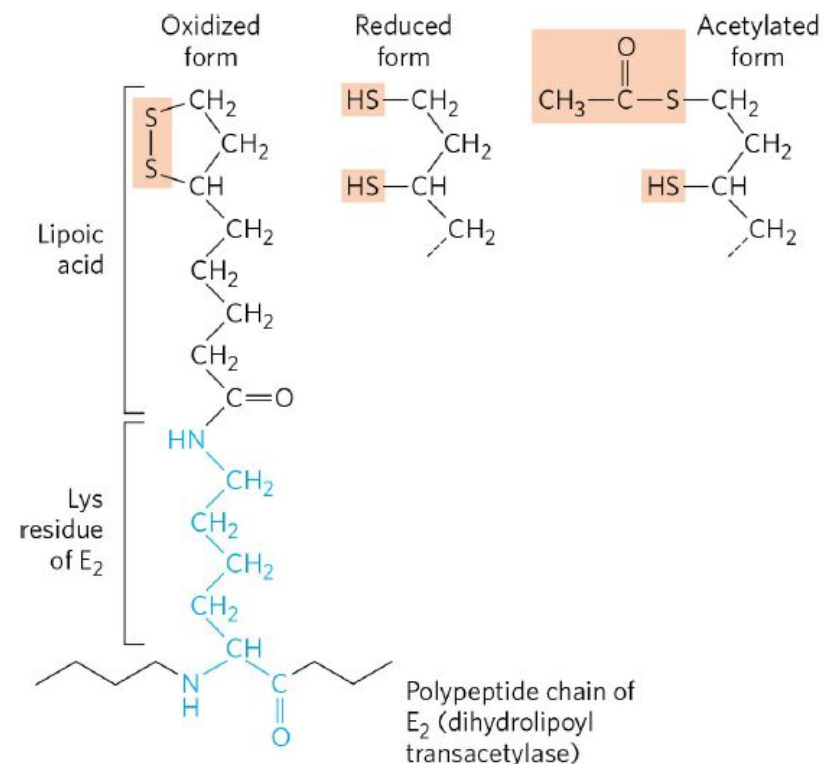
Biosíntesis de lipoamida



DOI 10.1074/jbc.TM117.000259



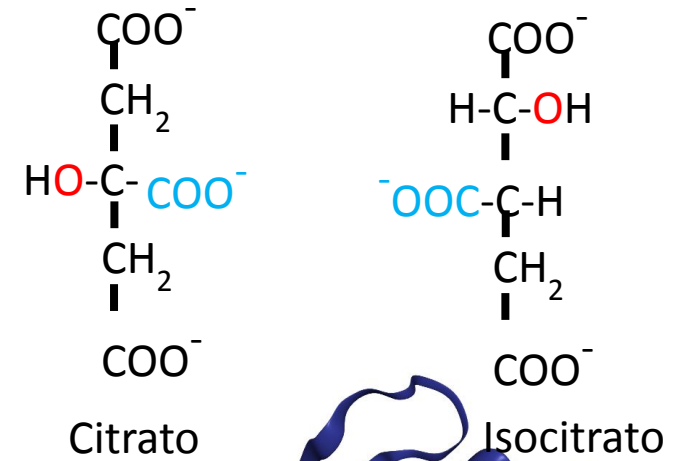
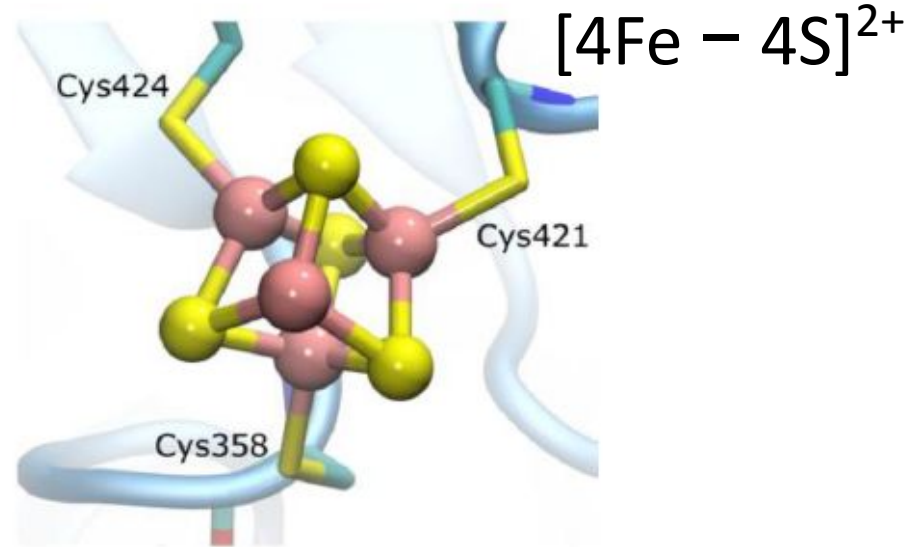
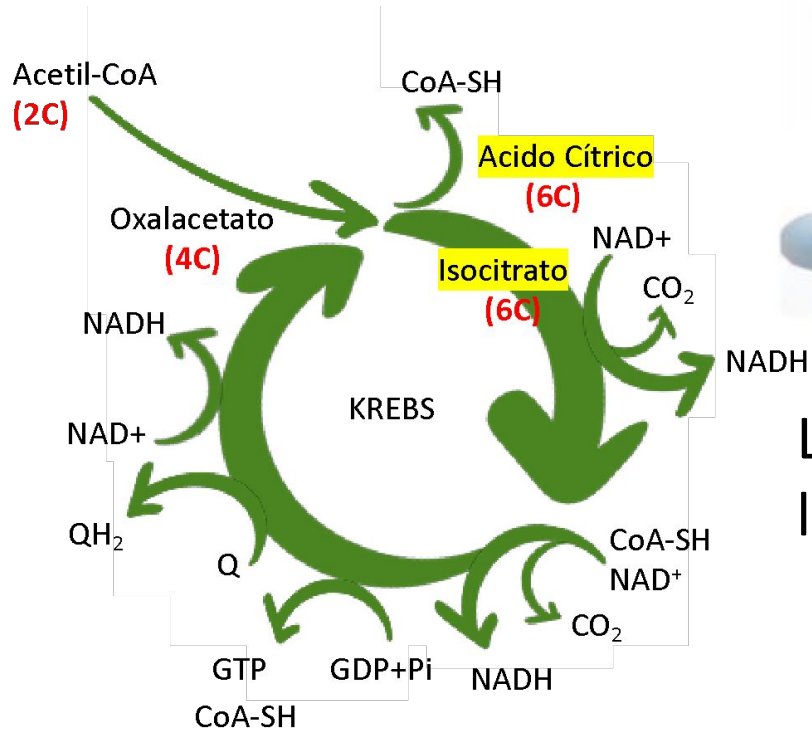
DOI: 10.2210/pdb4U0P/pdb



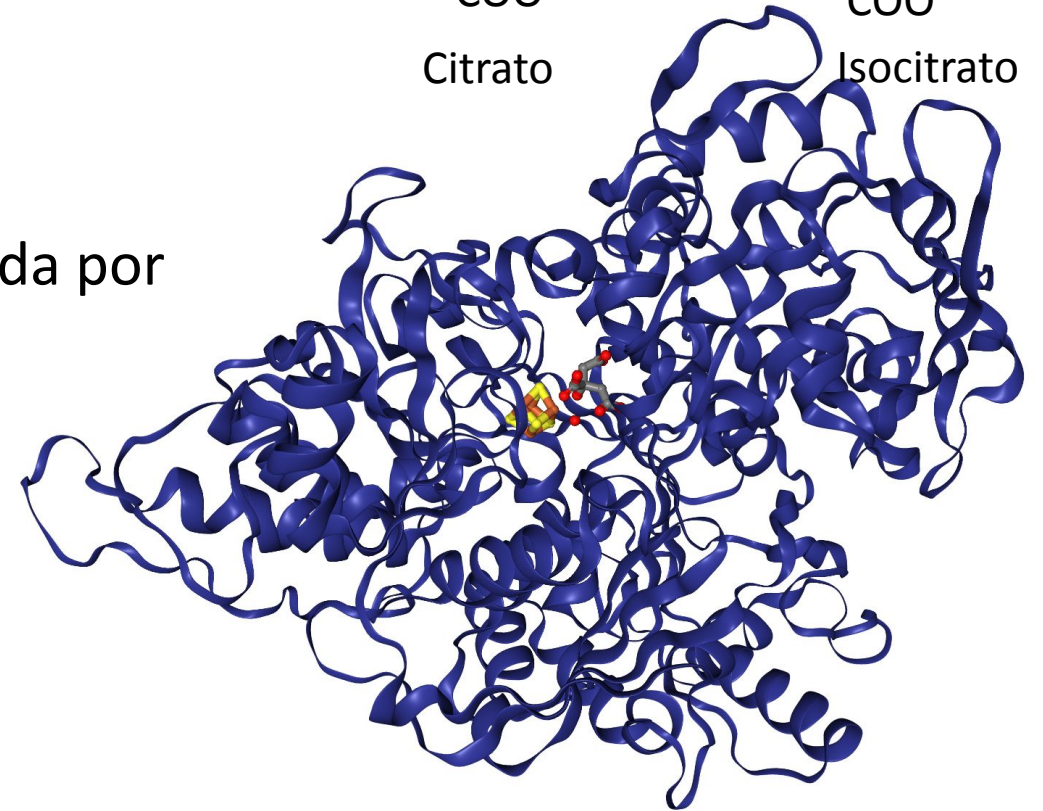
Eukaryotic LA Metabolism

Reaction	1	2	3
Enzyme	octanoyltransferase	lipoate synthase	lipoyltransferase
<i>S. cerevisiae</i>	Lip2	Lip5	Lip3
<i>H. sapiens</i>	LIPT2	LIAS	LIPT1

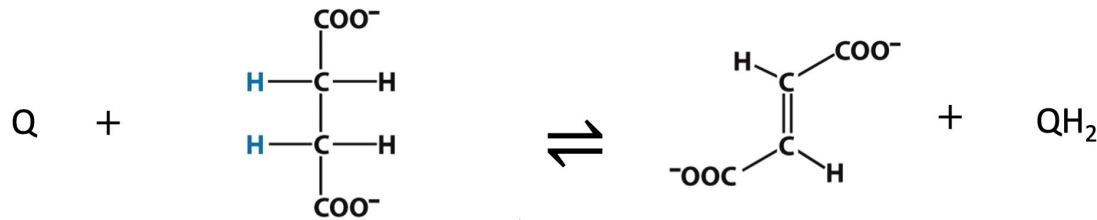
Ciclo de Krebs



La reacción está catalizada por la aconitasa

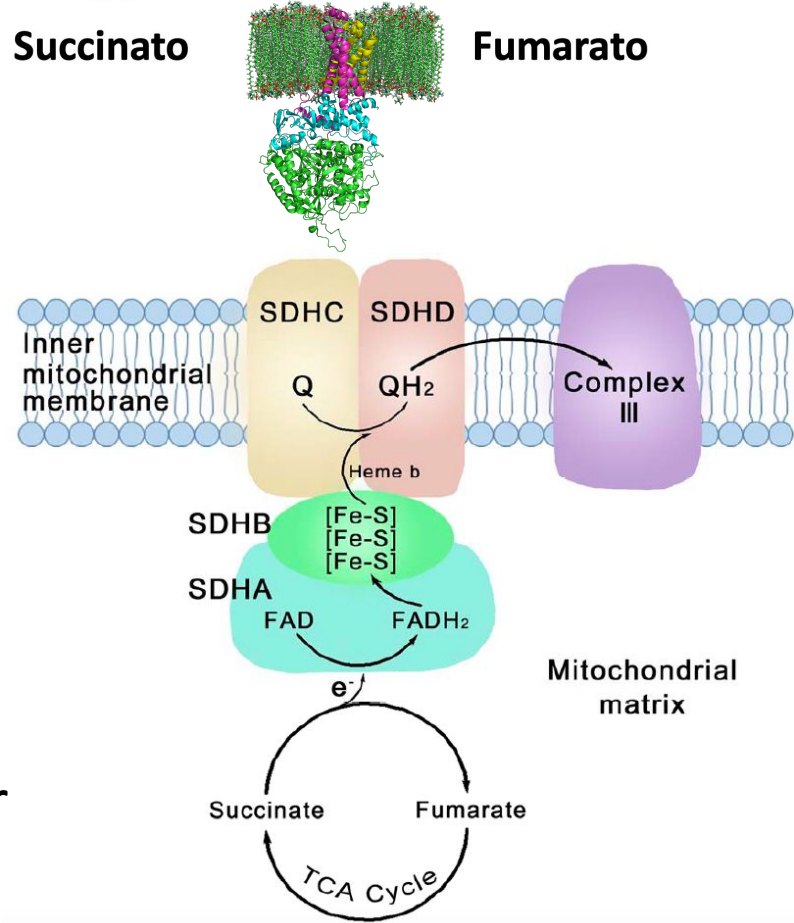


Ciclo de Krebs



Succinato

Fumarato



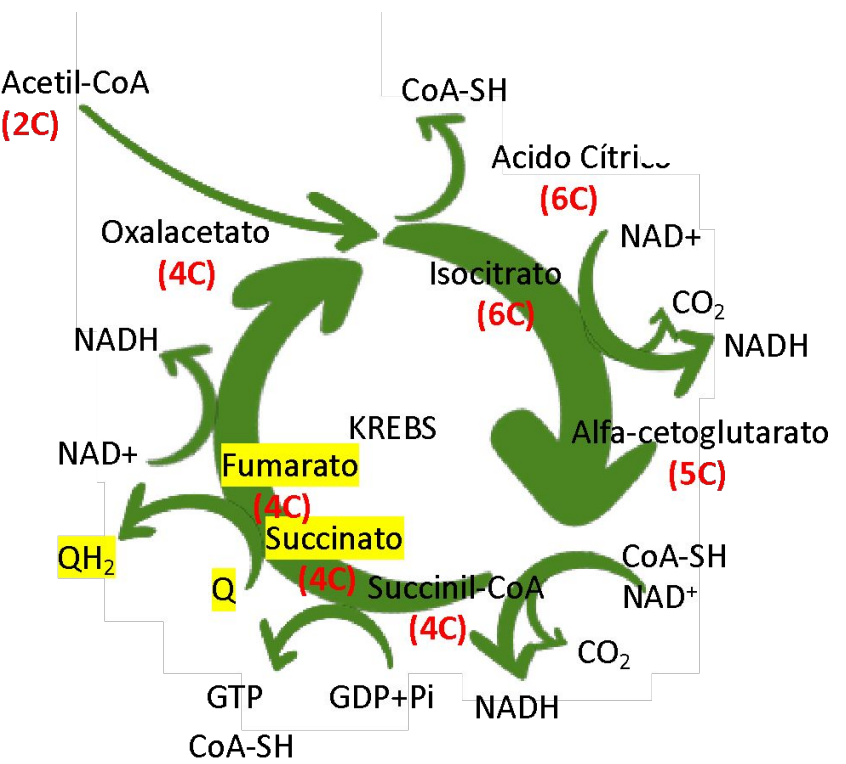
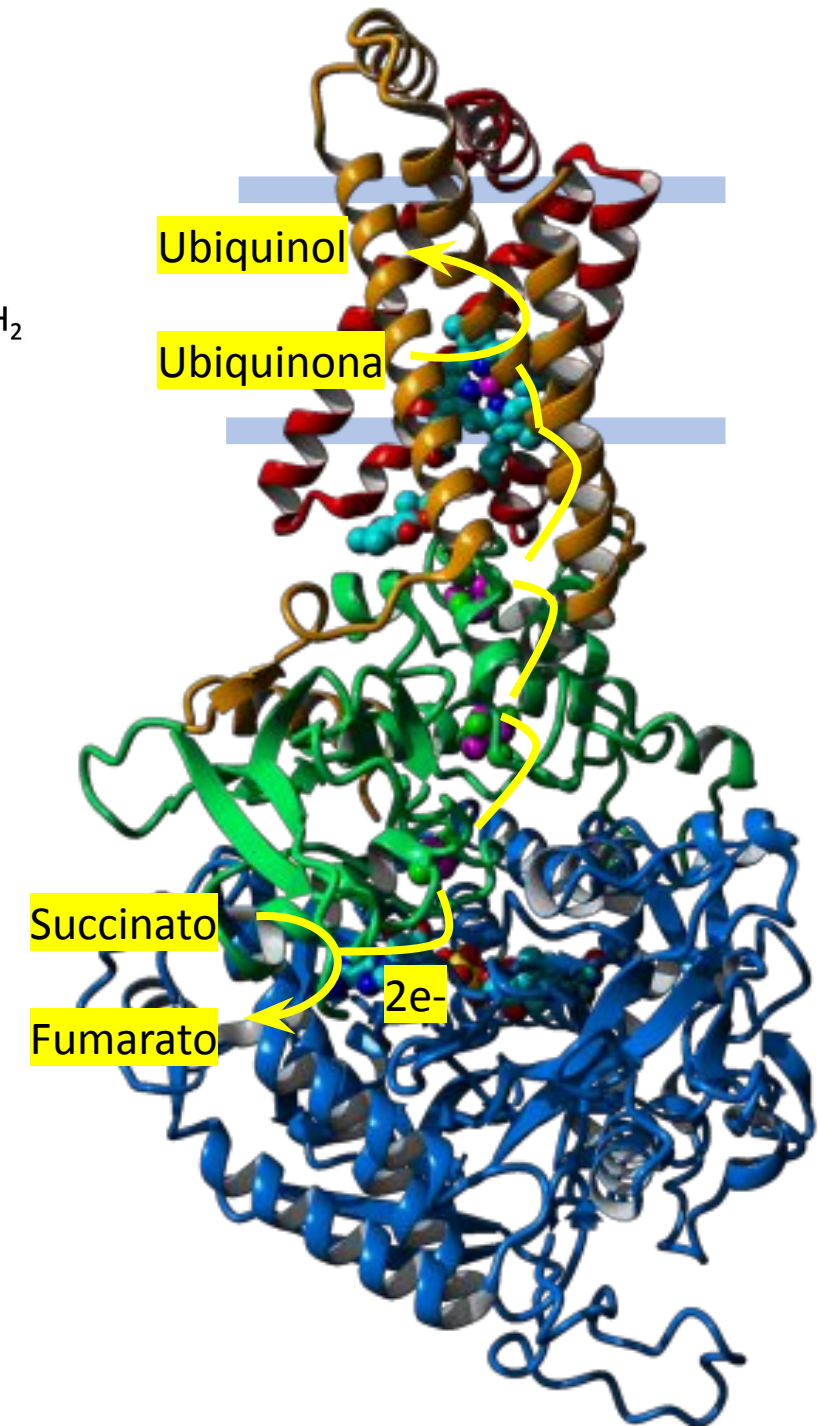
Ubiquinol

Ubiquinona

Succinato

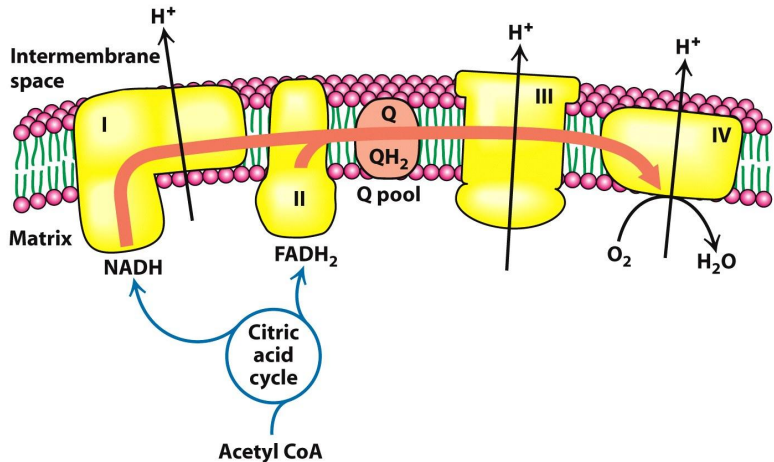
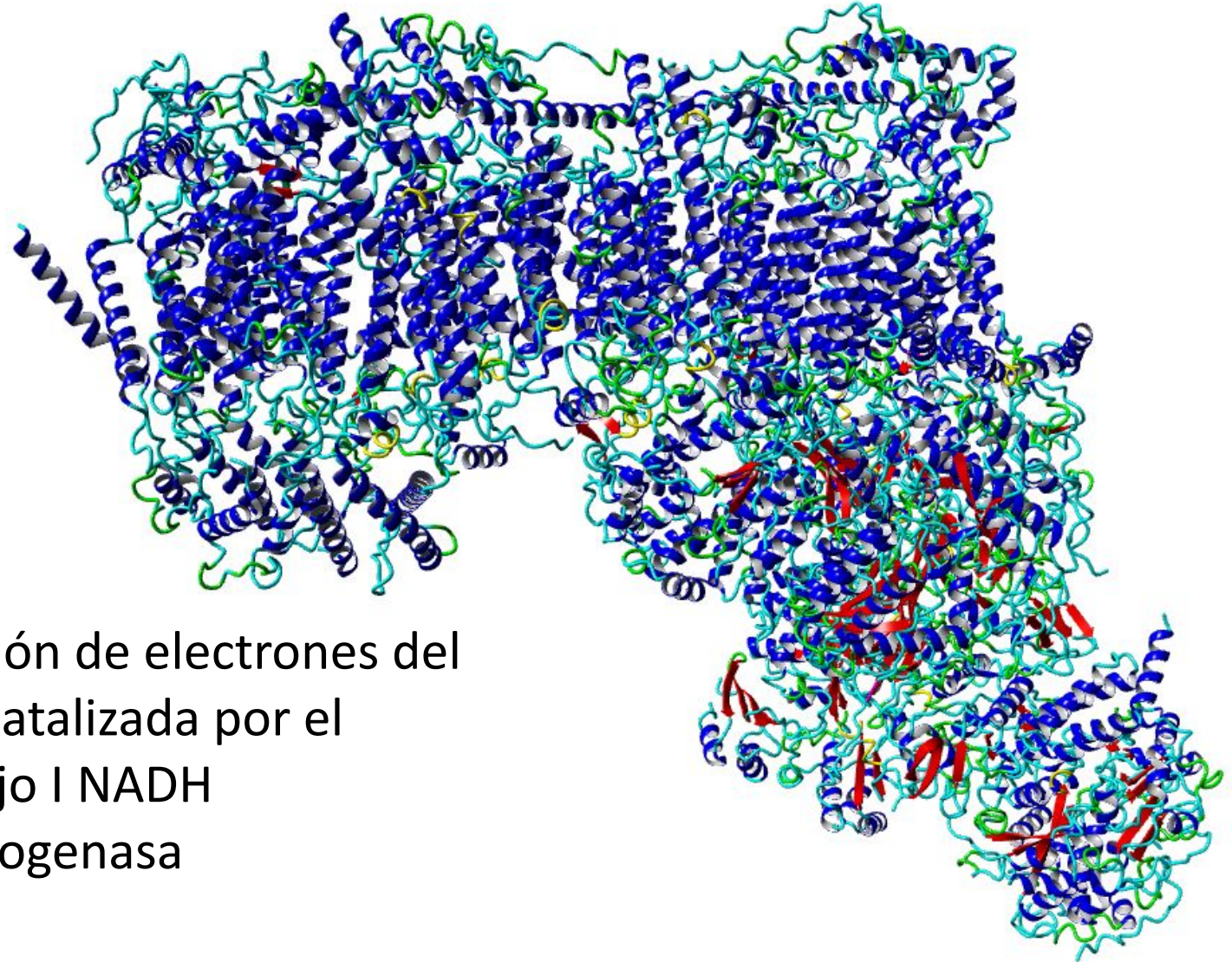
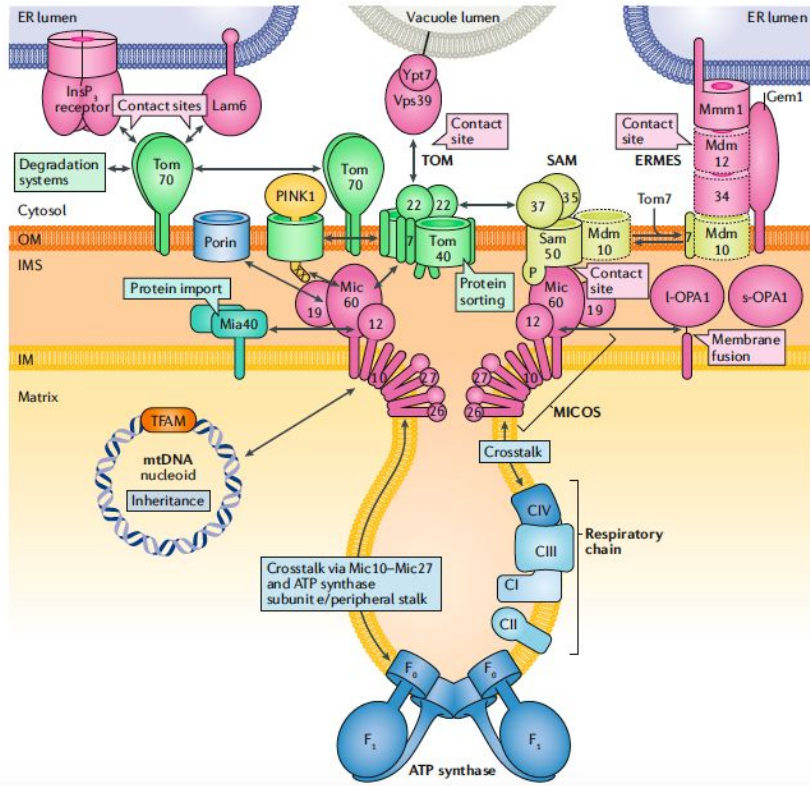
Fumarato

2e⁻



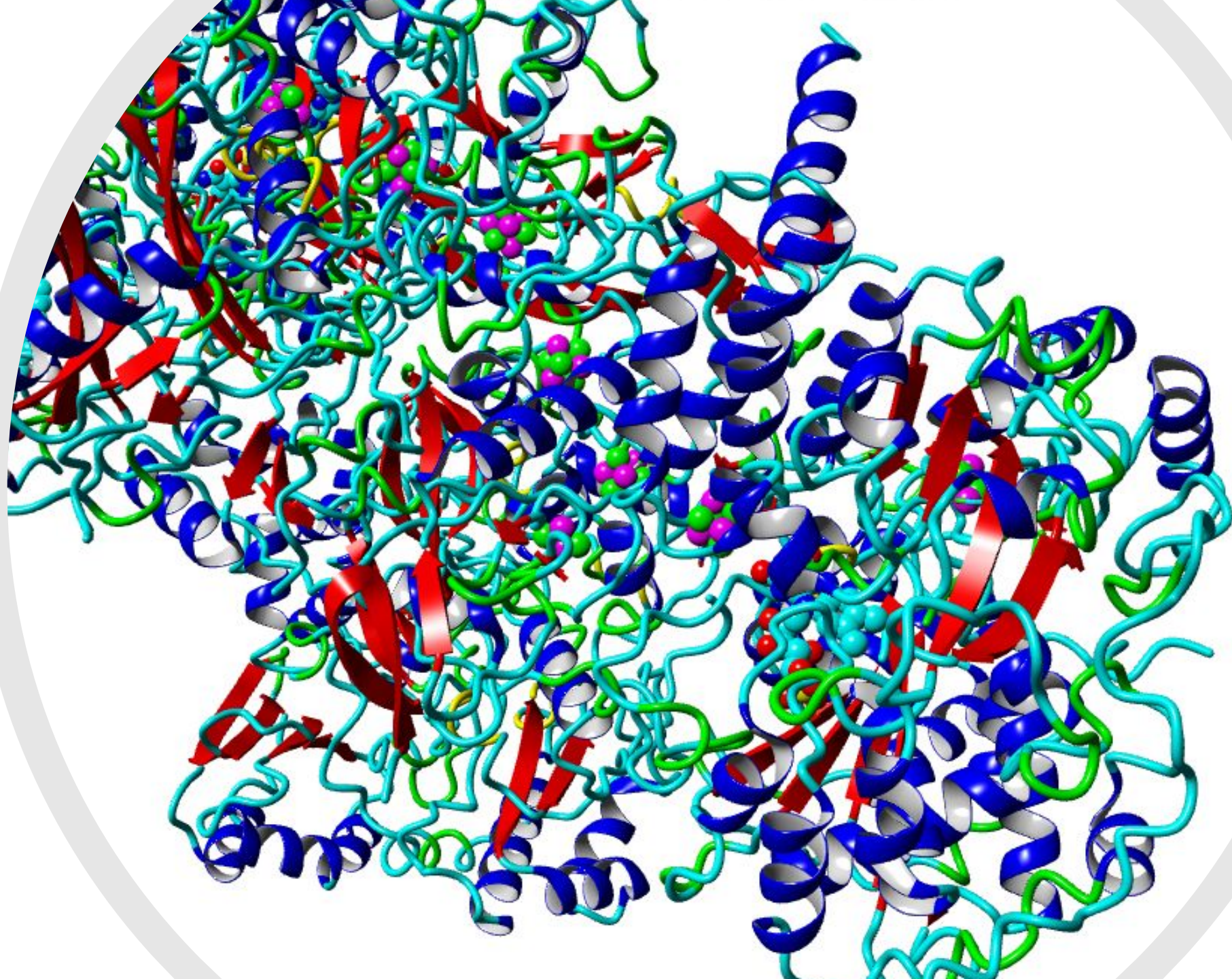
La reacción está catalizada por la enzima succinato deshidrogenasa

Cadena de transporte de electrones

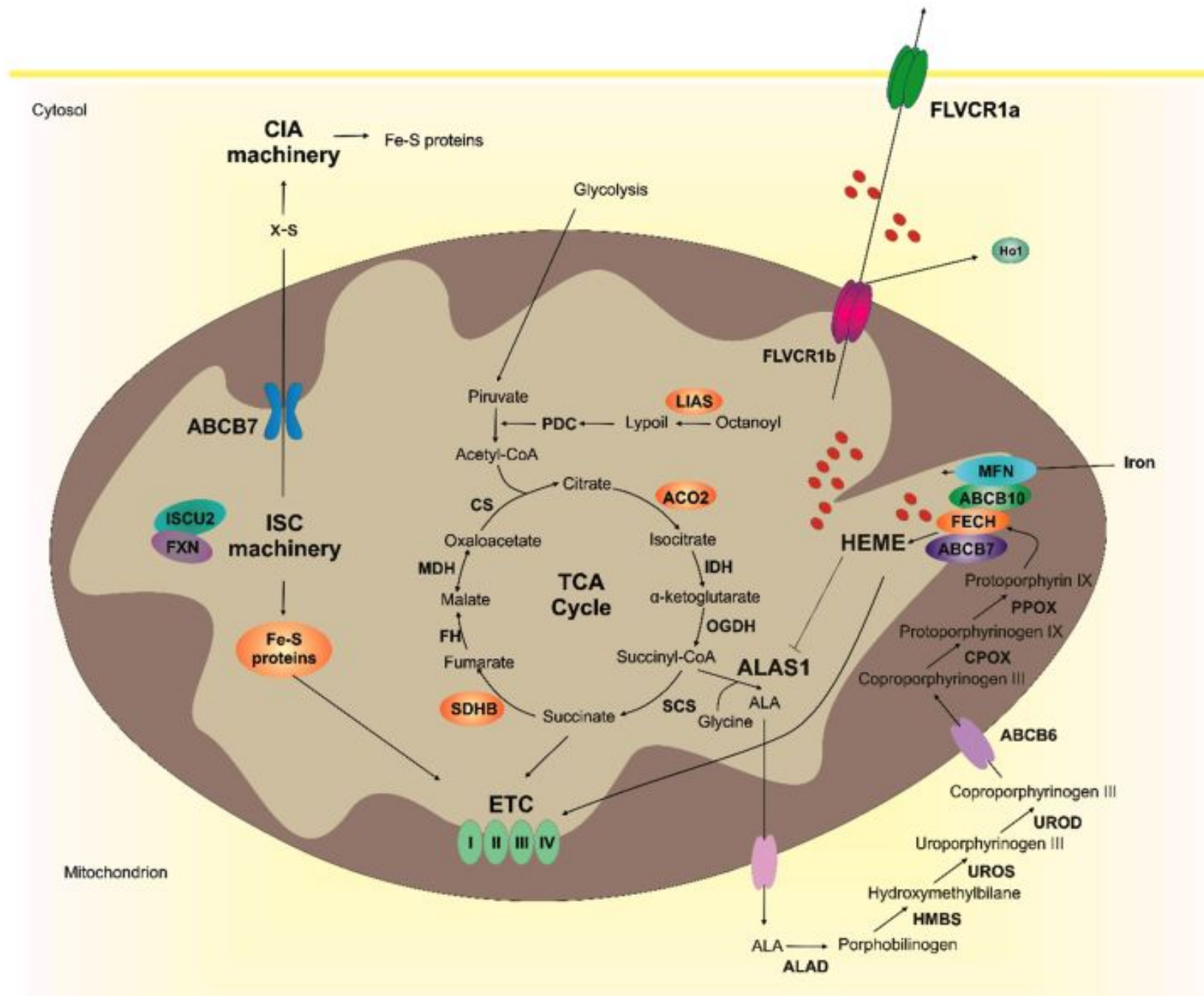


Extracción de electrones del NADH catalizada por el complejo I NADH deshidrogenasa

PDB ID 5XTD



75.5Å



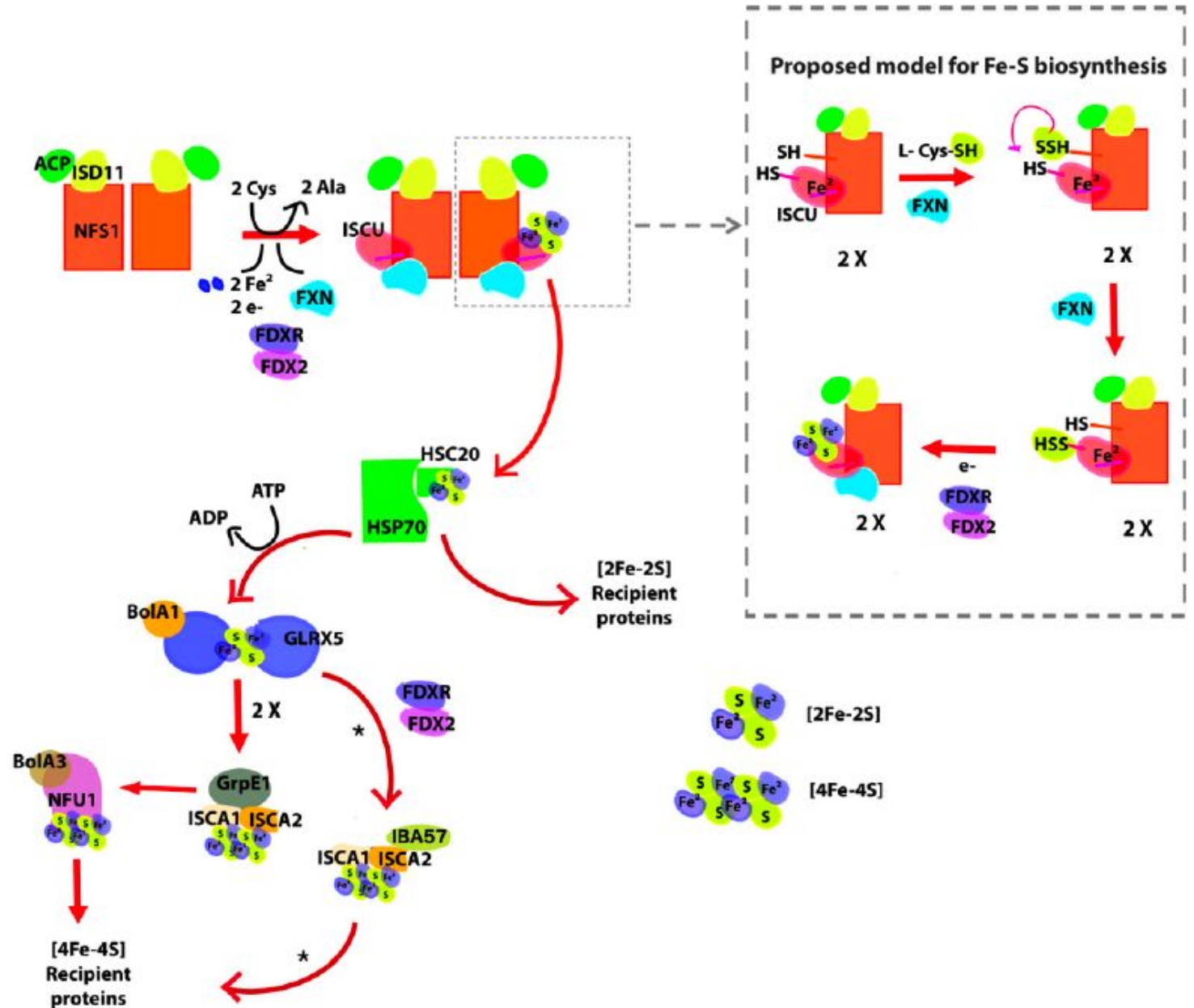
Síntesis de centros ferro-sulfurados

- ✓ NFS1 enzima desulfurasa
- ✓ ISCU andamiaje
- ✓ ACP-ISD11 tutora/estabilizadora
- ✓ Frataxina Activadora

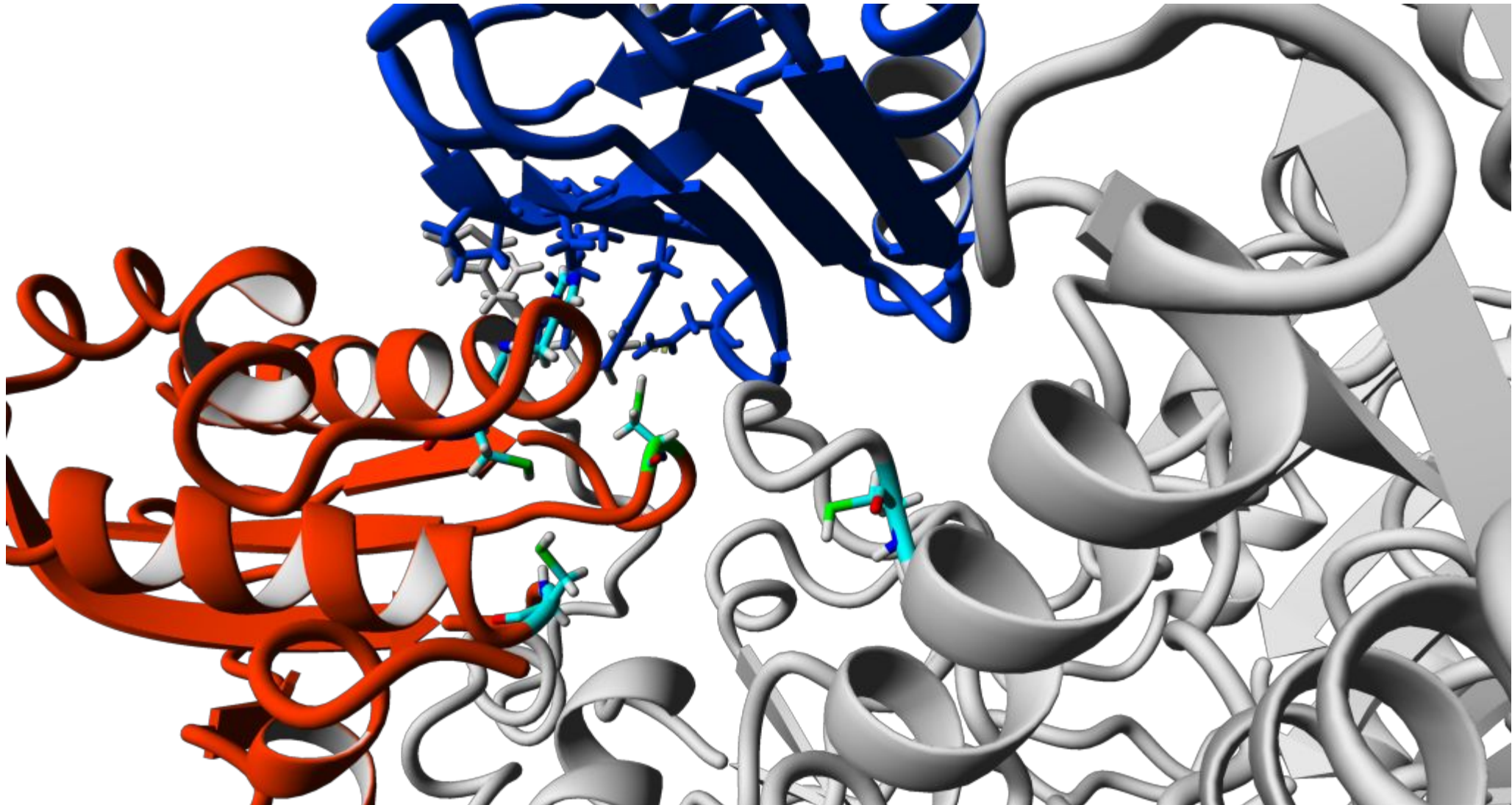
Todas codificadas por genes nucleares.

Ubicación: Matriz mitocondr

Forman un Supercomplejo

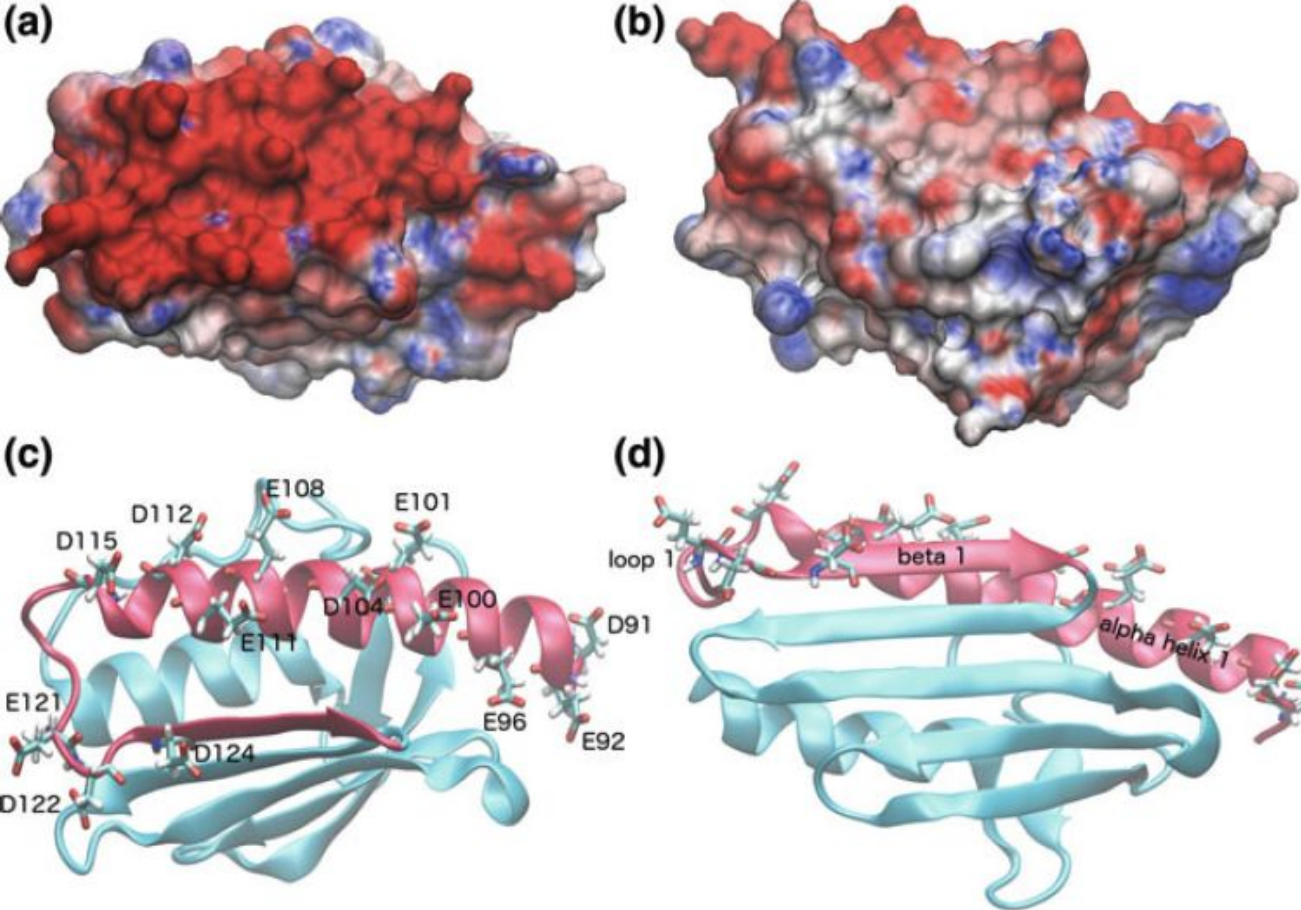
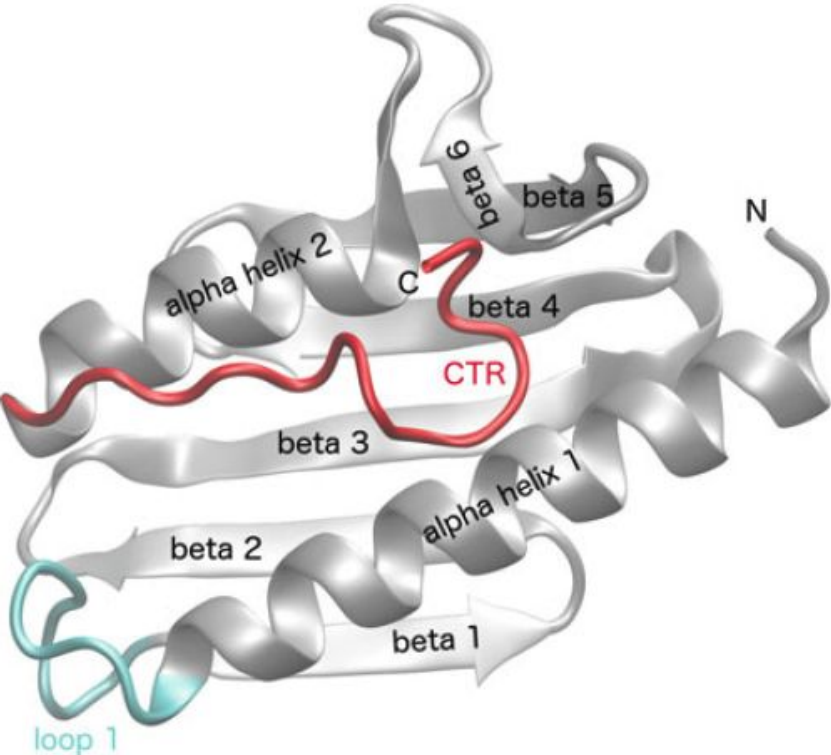


Rol de la frataxina



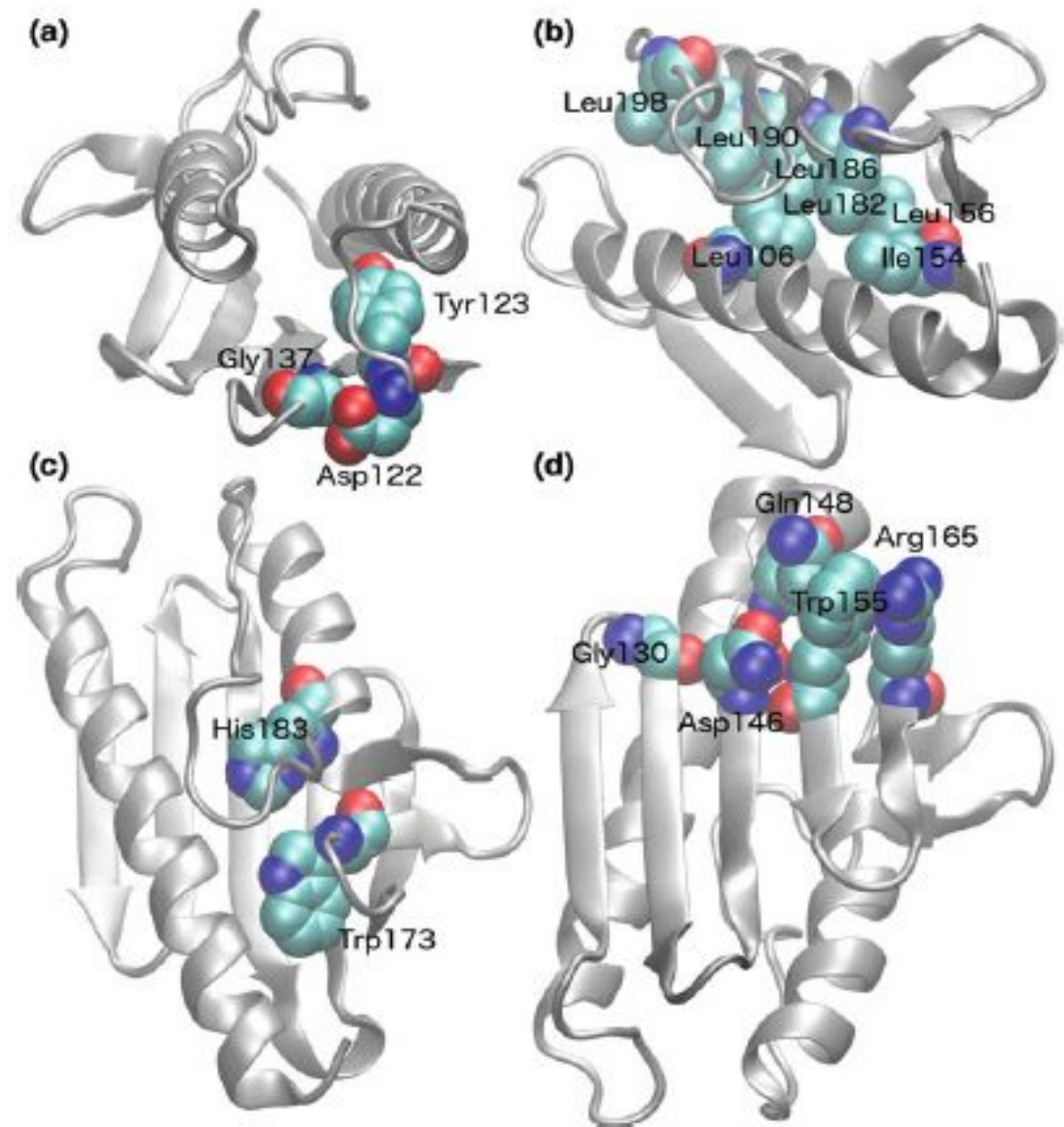
doi.org/10.1038/s41467-019-09989-y

Estructura de la frataxina



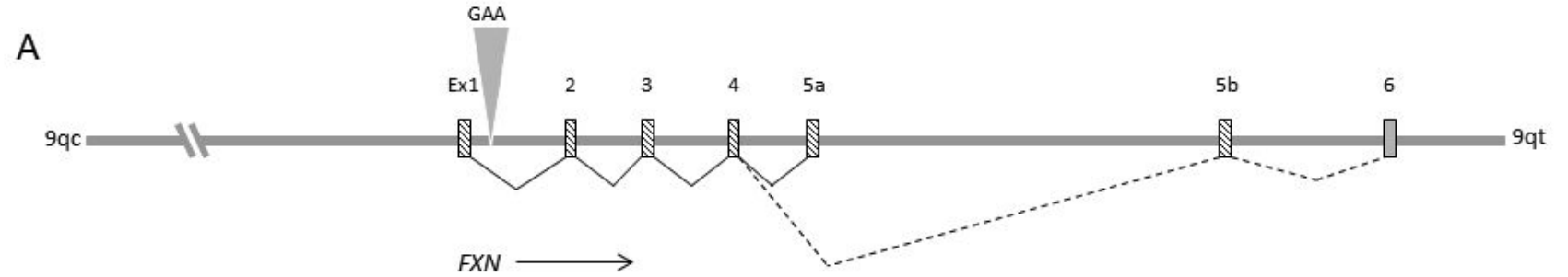
Variantes patogénicas de frataxina

- ✓ Estabilidad conformacional
- ✓ Interacciones intermoleculares
- ✓ Alteraciones en la dinámica molecular
- ✓ Alteraciones en la secuencia de tránsito mitocondrial
- ✓ Combinaciones de las anteriores
- ✓ Sabemos que solo en un 2-5% se observa una mutación en un alelo (qué pasa con el otro???)



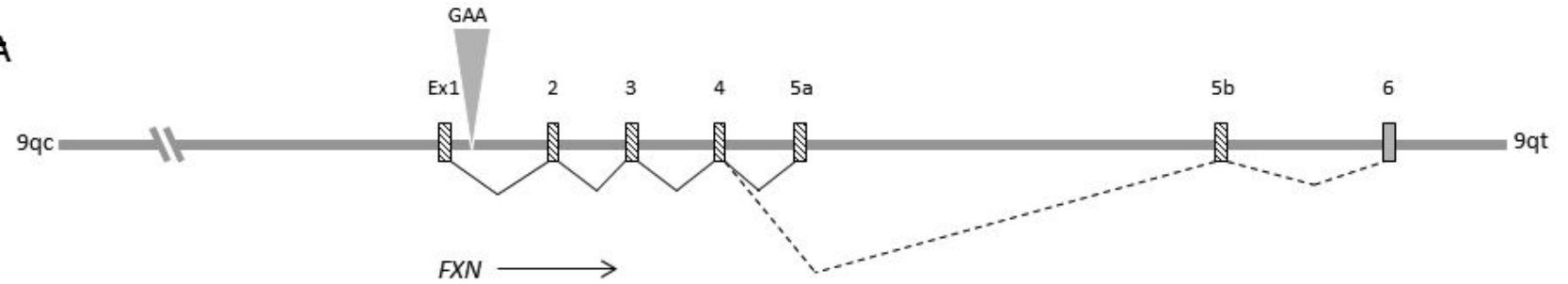
El gen *fxn*

- ✓ El gen *fxn* abarca 95kb de DNA genómico (siete exones)
- ✓ Amplificación intrónica (95-98%) en ambos alelos >44 repeticiones GAA (600-900 hasta 1700)
- ✓ Autosómica recesiva

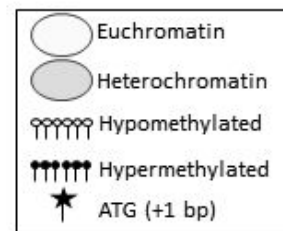
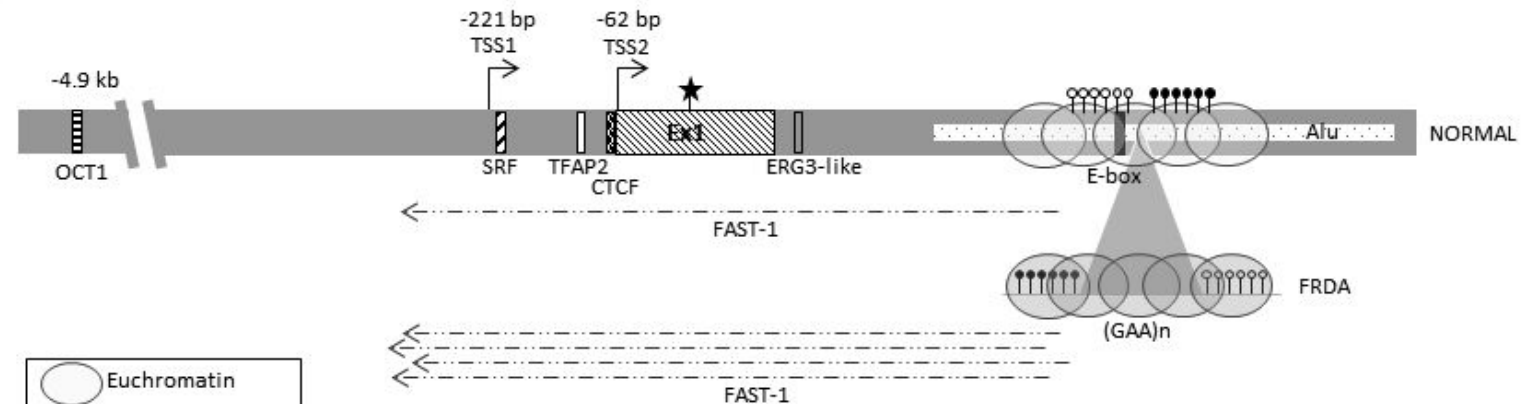


El gen *fxn*

✓ El *serum response factor* (SRF) y el *transcription factor activator protein 2* (TFAP2) tiene sitios de unión entre TSS1 y TSS2.



✓ La sobreexpresión de SRF o TFAP2 lleva a un incremento de mRNA de *FXN* en linfoblastos de pacientes.



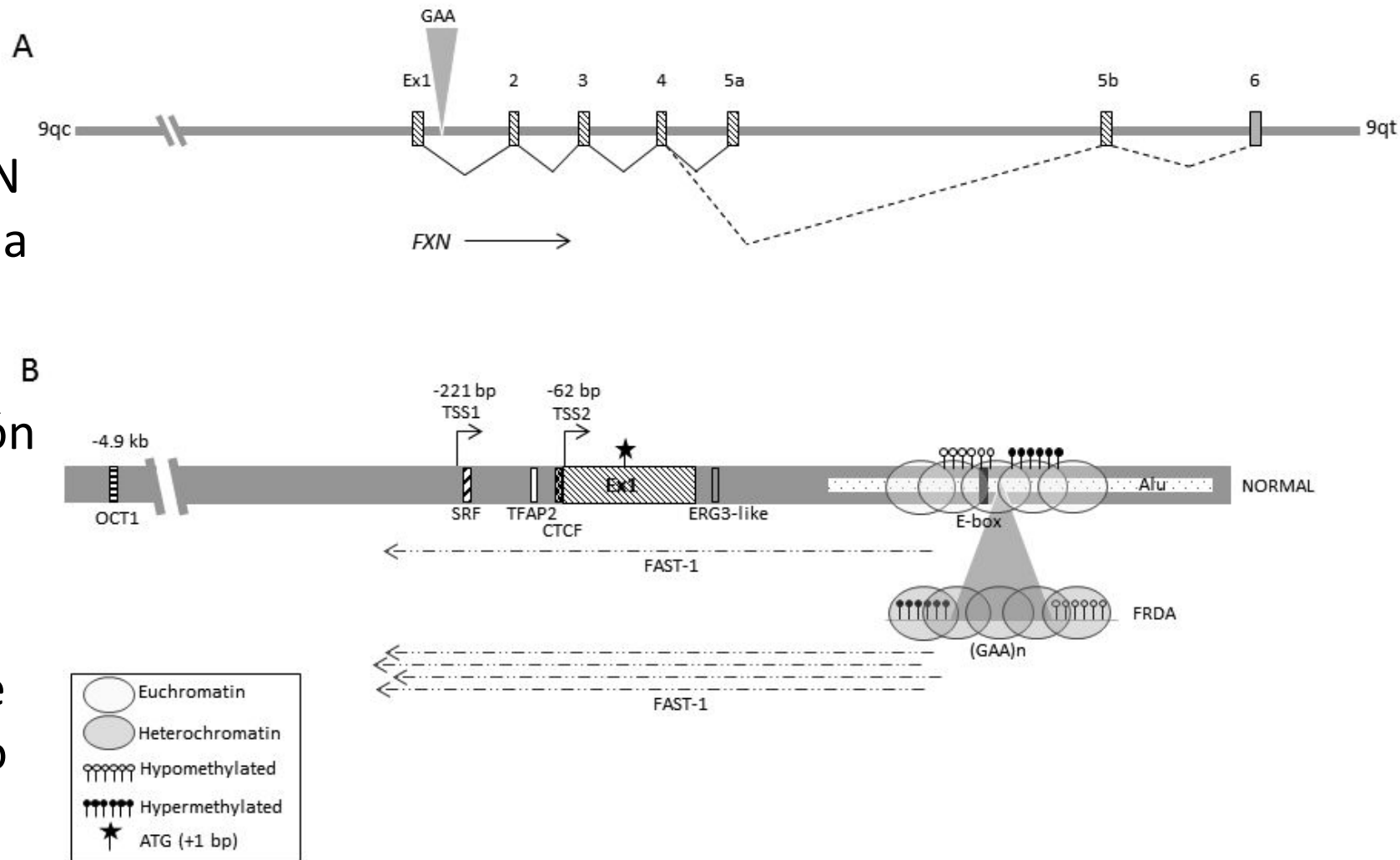
✓ Octamer Binding Protein es un factor de transcripción que se une específicamente al motivo octámero (ATTTGCAT)

Alteraciones en el gen *fxn*

✓ En FRDA la expresión de FXN inversamente correlacionada con metilación del DNA.

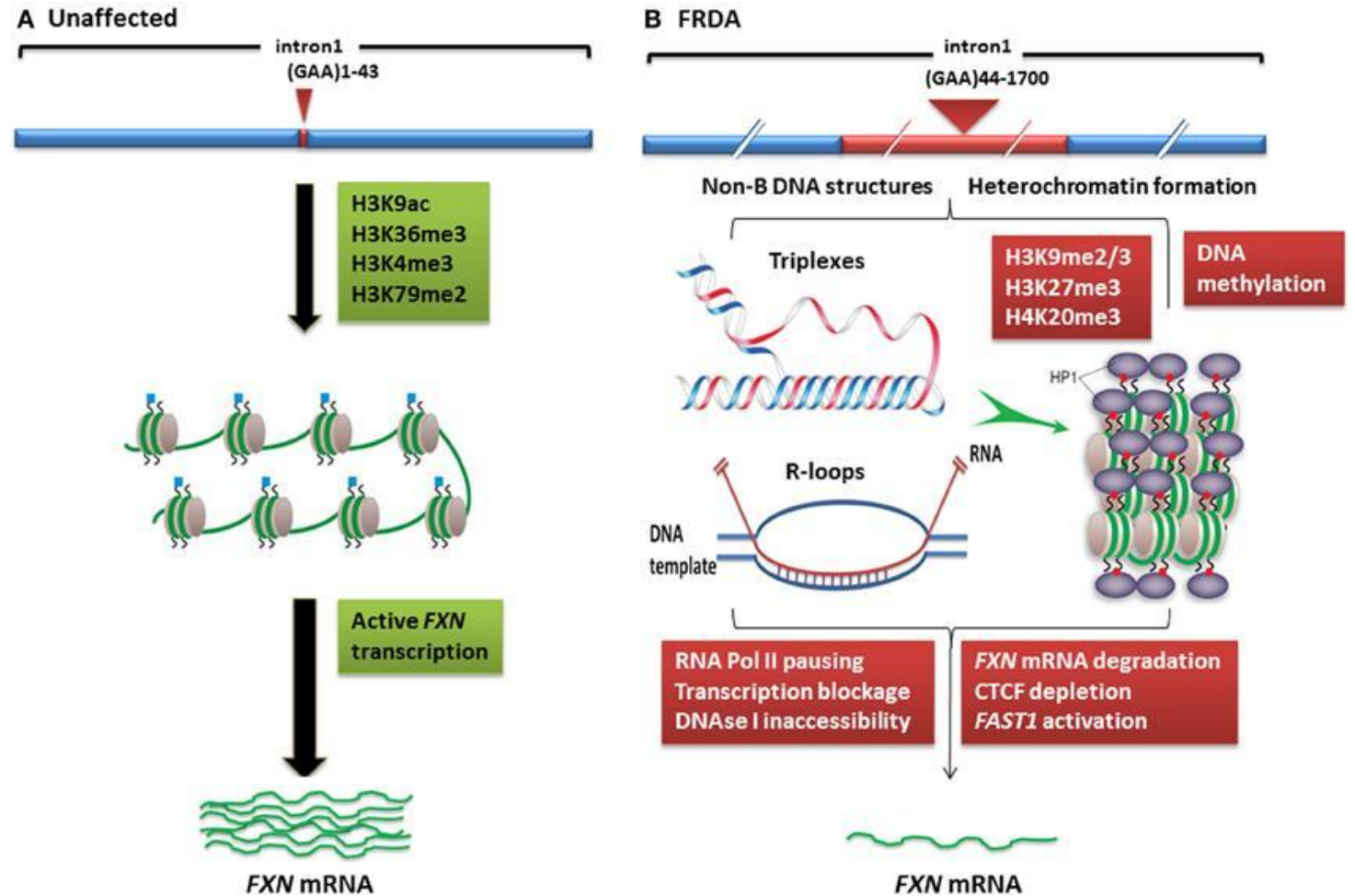
✓ Sitio CpG específico en intrón 1, río arriba de la repetición GAA.

✓ Un aumento significativo de los niveles de un transcripto antisentido (FAST1) en células de fibroblastos FRDA.



Alteraciones en el gen *fxn*

- ✓ Disminución en la transcripción.
- ✓ Degradación del mRNA de FXN.
- ✓ La transcripción es inhibida por la formación de estructuras de DNA de tipo no B (bloquean físicamente la transcripción).
- ✓ *Carriers* asintomáticos (solo un alelo) 50% de expresión.



Alteraciones en el gen *fxn*

✓ La transcripción de FXN también se ve afectada por alteraciones modificaciones de histonas.

✓ La heterocromatinización y el silenciamiento de genes se asocia con hipoacetilación de ciertos residuos de histonas, particularmente H3K9, junto con una mayor metilación de otros residuos (H3K9me2, H3K9me3, H3K27me3 y H4K20me3).

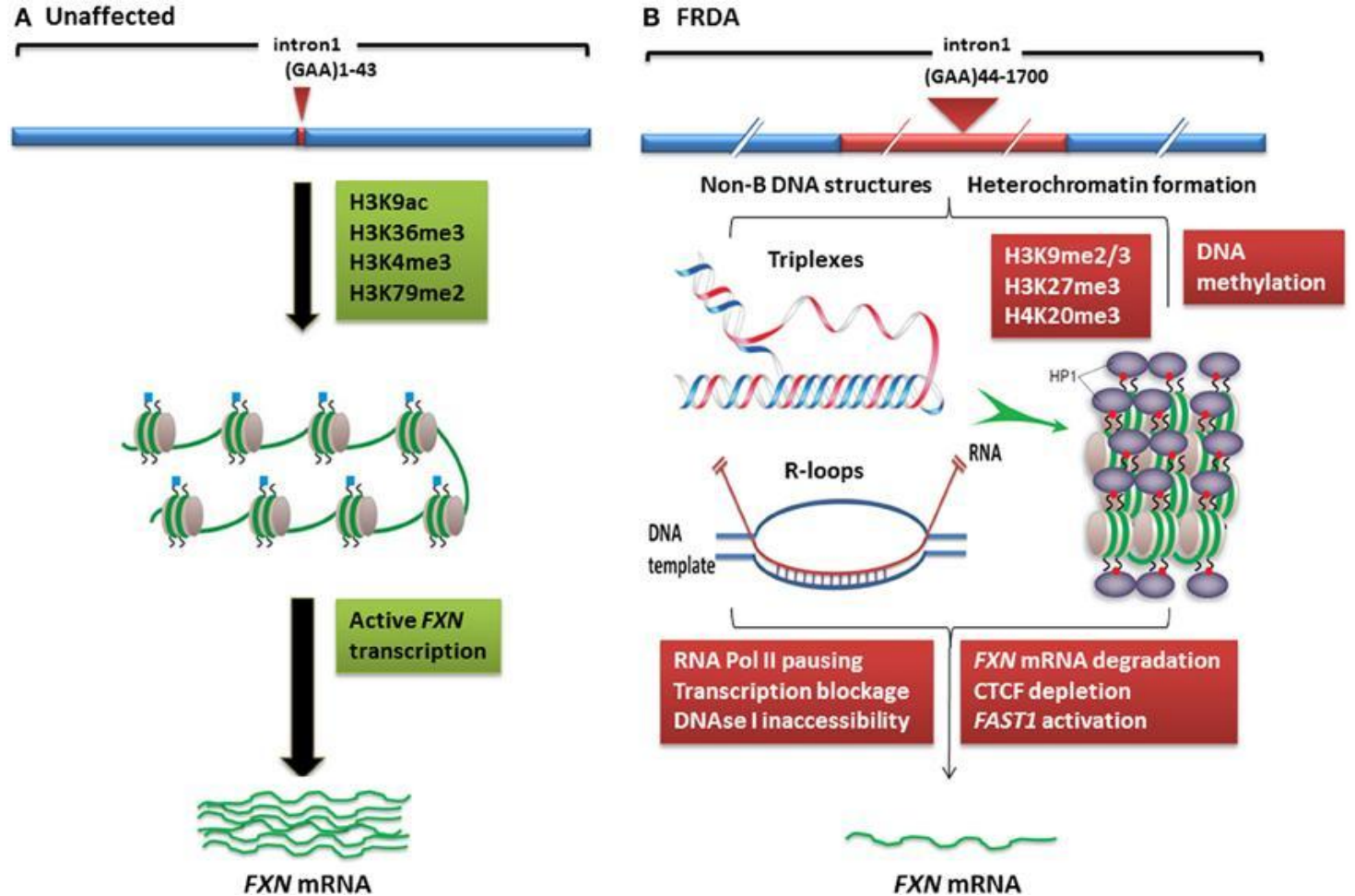
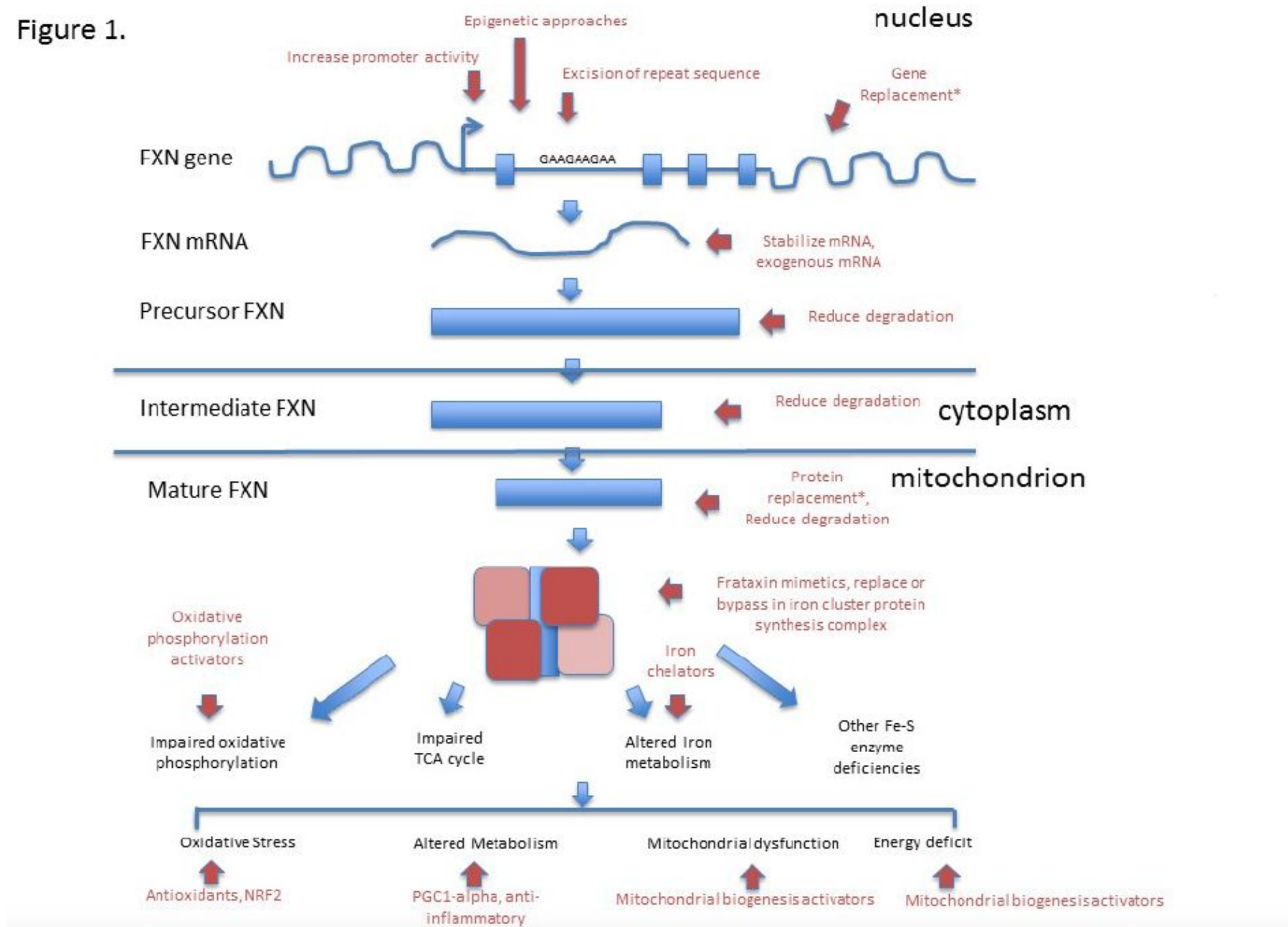
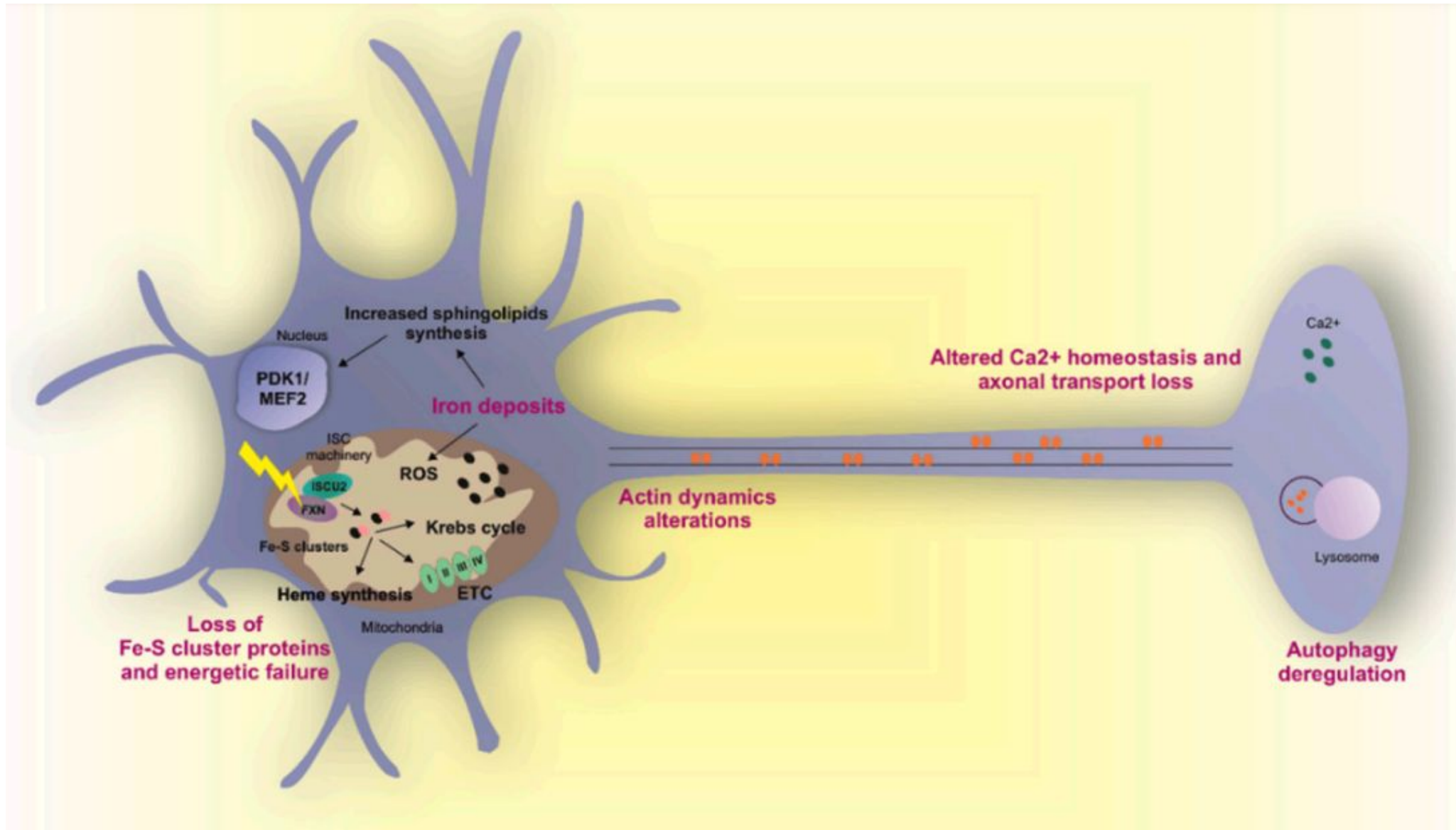


Figure 1.





FRIEDREICH'S ATAXIA TREATMENT PIPELINE

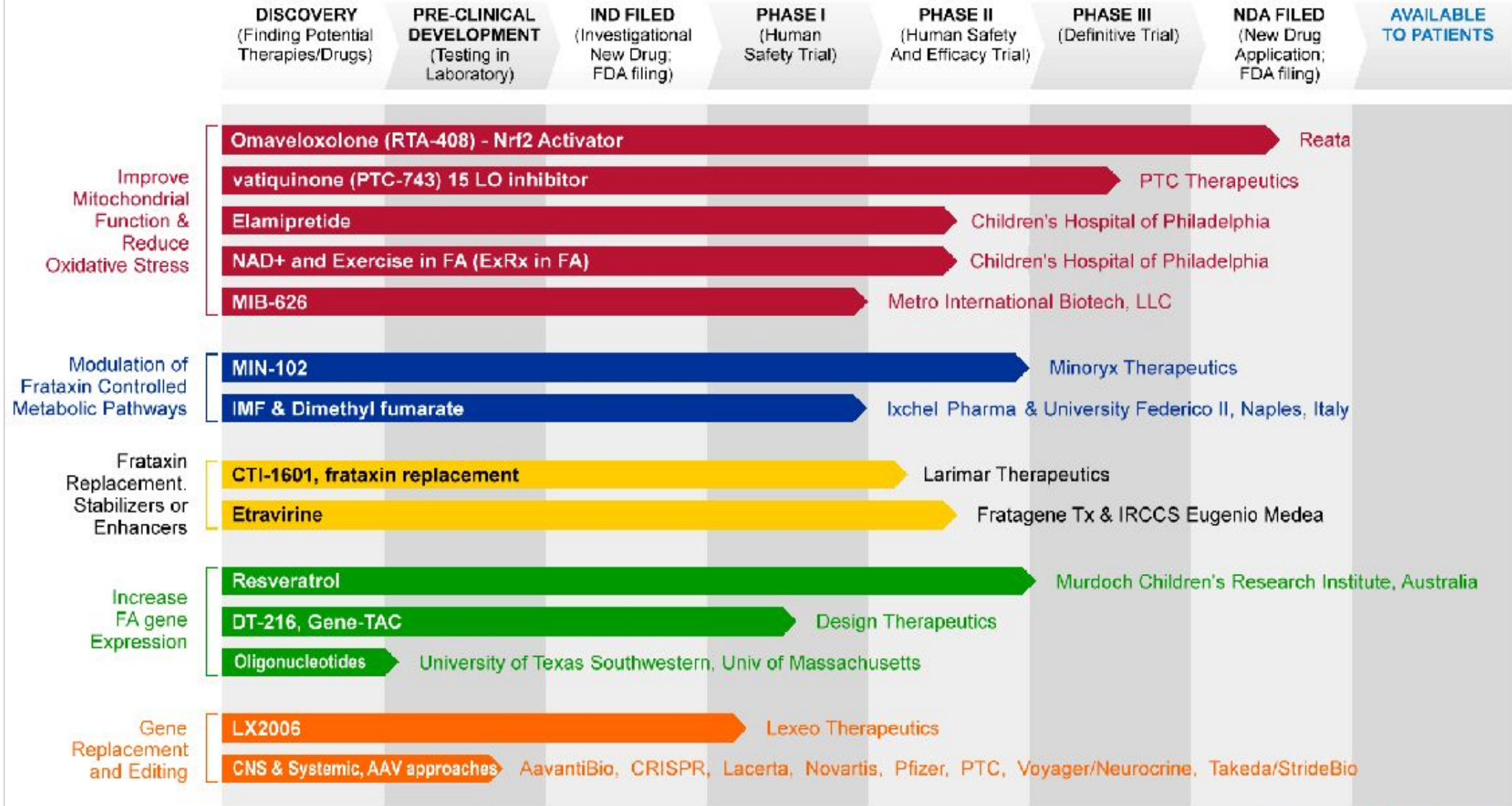


TABLE 1 | List of repurposed drugs in FRDA.

Drug	Research status	Mechanism of action in FRDA	Category
<i>PPARγ</i> agonists	Phase II placebo-controlled clinical trial (Leriglitzzone, 36 patients) – Completed	Increases frataxin mRNA and protein.	Chemical drug
<i>Dyclonine</i>	Proof of concept trial in patients (8 patients) – Completed	Increases frataxin mRNA and protein. Activates Nrf2	Chemical drug
<i>Src inhibitors</i>	<i>In vitro</i> studies Patients' cells	Increases frataxin protein.	Chemical drug
<i>Methylprednisolone</i>	Phase II open-label clinical trial (11 patients) – Completed	Unknown.	Chemical drug
<i>Diazoxide</i>	Preclinical	Increases frataxin mRNA and protein. Activates Nrf2	Chemical drug
<i>Dimethyl fumarate</i>	Preclinical	Increases frataxin mRNA and protein. Activates Nrf2. Promotes mitochondrial biogenesis.	Chemical drug
<i>Etravirine</i>	Phase II open-label clinical trial (30 patients) – Ongoing	Increases frataxin protein. No effect on frataxin mRNA levels.	Chemical drug
<i>Artesunate</i>	Phase I-II open-label clinical trial (20 patients) – Ongoing	Decreases iron overload.	Chemical drug
<i>Erythropoietin and derivatives</i>	Phase II placebo-controlled clinical trials – Completed	Increases frataxin protein. No effect on frataxin mRNA levels.	Biological drug
<i>Interferon-γ</i>	Phase III placebo-controlled clinical trial (92 patients) – Completed	Increases frataxin mRNA and protein.	Biological drug
<i>G-CSF</i>	Phase II open-label clinical trial (7 patients) – Completed	Increases frataxin mRNA and protein.	Biological drug
<i>Exenatide</i>	Phase II open-label clinical trial (16 patients) – Completed	Increases frataxin protein. No effect on frataxin mRNA levels.	Biological drug
<i>Nicotinamide</i>	Phase II open-label clinical trial (10 patients) – Completed. Double-blind, placebo-controlled phase II trial (225 patients) – Ongoing	Increases frataxin mRNA and protein.	Natural product
<i>NAD + precursor (Nicotinamide riboside)</i>	Phase II placebo-controlled clinical trial (72 patients) – Ongoing	Enhances mitochondrial metabolism.	Natural product
<i>NAD + precursor (MIB-626)</i>	Phase II open-label clinical trial (10 patients) – Ongoing	Enhances mitochondrial metabolism.	Natural product
<i>Acetyl-L-Carnitine</i>	Phase II open-label clinical trial (20 patients) – Completed	Enhances mitochondrial metabolism.	Natural product
<i>Resveratrol</i>	Phase II open-label clinical trial (27 patients) – Completed. Double-blind, placebo-controlled phase II trial (40 patients) – Ongoing	Increases frataxin mRNA and protein.	Natural product
<i>Thiamine</i>	Phase II open-label (34 patients) – Completed	Unknown.	Natural product
<i>Sulforaphane</i>	<i>In vitro</i> studies Patients' cells	Increases frataxin mRNA and protein. Activates Nrf2.	Natural product

